



اثر جانشانی ساماریوم بر ویژگی‌های ساختاری و مغناطیسی نانوذرات گارنت ایتریوم آهن تهییه شده به روش سل - ژل

معصومه حاتمی کاکش^{۱*}، محمد نیایی فر^{۲*}، احمد حسن پور^۲

۱- گروه فیزیک، واحد علوم و تحقیقات خوزستان، دانشگاه آزاد اسلامی، اهواز، ایران

۲- گروه فیزیک، واحد اهواز، دانشگاه آزاد اسلامی، اهواز، ایران

(دریافت مقاله: ۹۵/۱۱/۳۰، نسخه نهایی: ۹۶/۲/۱۶)

چکیده: در این پژوهش نانوذرات گارنت ایتریوم آهن جانشانی شده با ساماریوم، به فرمول شیمیایی $\text{Y}_{3-x}\text{Sm}_x\text{Fe}_5\text{O}_{12}$ با $x = 0, 0.2, 0.4, 0.6$ به روش سل - ژل تهییه شدند. الگوهای پراش پرتو ایکس (XRD) و بینابستنجی فروسرخ دور (Far FT-IR) ساختار تکفاز گارنت را برای همه نمونه‌ها تأیید کردند. حلقه‌های پسماند بدست آمده از مغناطیس سنج ارتعاشی (VSM) نشان‌دهنده کاهش مغناطیش اشباع با افزایش مقدار ساماریوم در ساختار گارنت ایتریوم بر پایه نظریه نیل توضیح داده می‌شود.

واژه‌های کلیدی: سل ژل؛ گارنت ایتریوم آهن؛ ساماریوم؛ بینابستنج فروسرخ دور؛ مغناطیس سنج ارتعاشی.

دارند [۷]. از آنجاکه یون ایتریوم در جایگاه دوازده‌وجهی YIG غیرمغناطیسی است، ویژگی‌های مغناطیسی ساختار YIG ناشی از خواص مغناطیسی یون‌های آهن در جایگاه‌های چار و هشت‌وجهی است [۸]. تعداد کمی گزارش پیرامون خواص مغناطیسی Sm-YIG تهییه شده به روش‌های مختلف وجود دارد، که همگی بیانگر کاهش مغناطیش اشباع با افزایش جانشانی Sm^{+3} است [۹-۱۲]. نانو مواد به روش‌های مختلفی تولید می‌شوند که از آن میان روش سل - ژل به دلیل دمای پایین انجام فرآیند، همگنی بالای فرآورده نهایی و توزیع مناسب اندازه ذرات در پژوهش حاضر استفاده شد. در این پژوهش کاتیون‌های ساماریوم جایگزین کاتیون‌های دیامغناطیسی ایتریوم در جایگاه دوازده‌وجهی ساختار گارنت ایتریوم آهن شدند. ویژگی‌های ساختاری نمونه‌های تهییه شده با استفاده از طیف‌های XRD و FT-IR بررسی شد. ویژگی‌های مغناطیسی نمونه‌ها توسط دستگاه VSM مشخصه‌یابی شد.

مقدمه

در سال‌های اخیر ذرات مغناطیسی گارنت ایتریوم آهن و ایتریوم آهن آلایش شده با عناصر مختلف به دلیل داشتن ویژگی‌های جالب مغناطیسی، اپتیکی و الکترونیکی بسیار مورد توجه قرار گرفته‌اند. از کاربردهای متنوع این ذرات می‌توان به استفاده آنها در ابزارهای موج بری، قطعات مجتمع اپتیکی، وسایل ریزموچ، حافظه‌های مغناطیس‌اپتیکی با کارایی بسیار بالا، چرخاننده‌ها، جدا کننده‌ها، صافی‌های اپتیکی قابل تنظیم، و انتشار دهنده‌ها که همه در ناحیه ریزموچ کار می‌کنند اشاره کرد [۱-۶]. ساختار بلوری گارنت ایتریوم آهن (YIG) دارای تقارن مکعبی مرکز حجمی (bcc)، و متعلق به گروه فضایی $Ia\bar{3}d(O_h^{10})$ است [۵، ۶]. در این ساختار ۲۴ جایگاه دوازده-وجهی (c)، ۱۶ جایگاه هشت‌وجهی (a) و ۲۴ جایگاه چاروجهی (d) وجود دارند، که جایگاه‌های دوازده‌وجهی توسط یون ایتریوم و جایگاه‌های چار و هشت‌وجهی توسط یون‌های آهن اشغال شده‌اند، به طوریکه گشتاور مغناطیسی موثر جایگاه‌های a و d در دمای اتاق، جهت‌گیری پادموازی نسبت به یکدیگر

*نویسنده مسئول، تلفن: ۰۶۱ ۳۴۴۵۷۱۷۴، نامبر: ۰۶۱ ۳۴۴۴۵۲۸۸، پست الکترونیکی: md.niyaifar@gmail.com

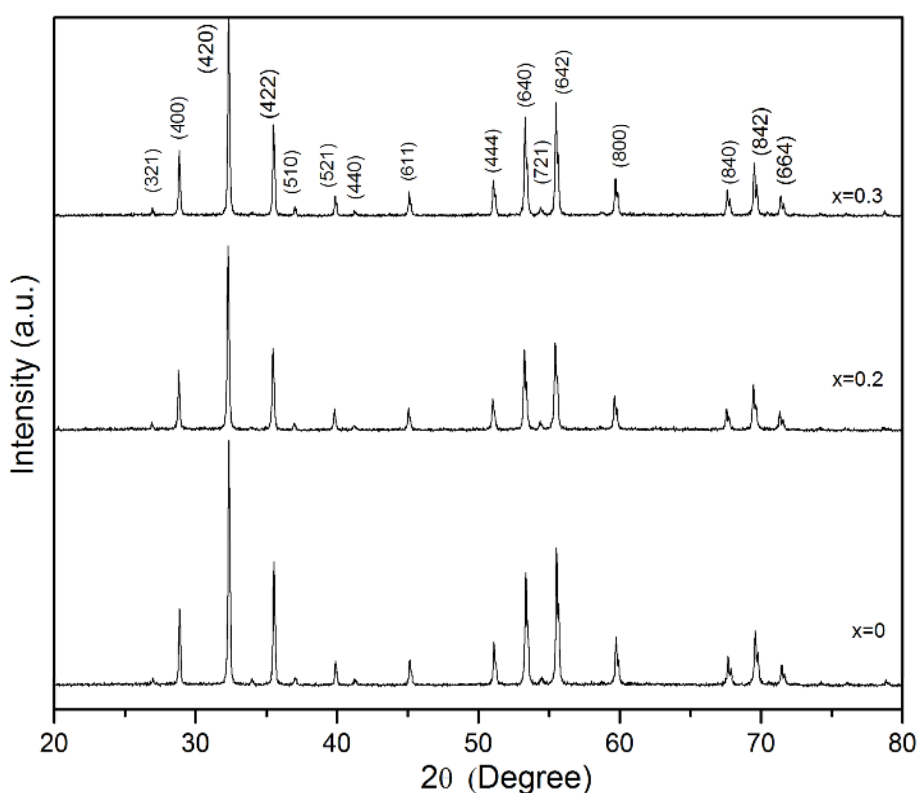
استفاده از طیف Far FT-IR مدل (Perkin spectrum 400) بدست آمدند. منحنی های پسماند مغناطیسی نمونه ها توسط دستگاه مغناطیسی سنج ارتعاشی (VSM) ساخت شرکت Lake shore مدل ۷۴۰۰ بررسی شدند.

بحث و بررسی مشخصه یابی ساختاری

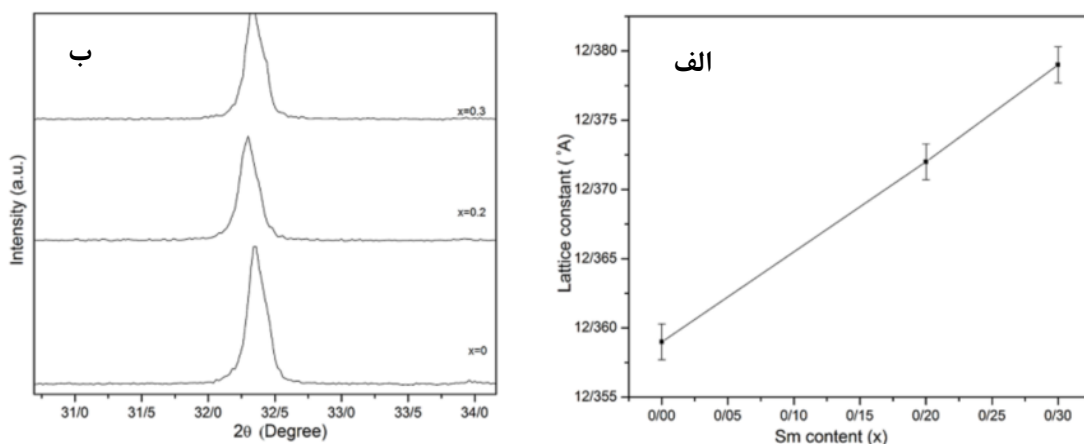
الگوهای پراش پرتو ایکس نانوذرات گارنت ایتریوم آهن جانشانی شده با ساماریوم به فرمول $Y_{3-x}Sm_xFe_5O_{12}$ با $x = 0.2, 0.3$ در شکل ۱ نشان داده شده است. همه الگوهای پراش با کارت استاندارد JPCDS ۰۳۳-۰۶۹۳۳ مقایسه شدند. همه مخواهی داشته اند و تشکیل ساختار تک فاز گارنت برای هر سه نمونه را تأیید می کنند. میانگین اندازه بلورکها با استفاده از رابطه دبای شرر حدود ۵۰ نانومتر محاسبه شد. تغییرات ثابت شبکه بر حسب میزان جانشانی در شکل ۲ نشان داده شده است. چنان که دیده می شود با جانشانی ساماریوم در ساختار گارنت ایتریوم آهن ثابت شبکه افزایش می یابد که این امر به دلیل بزرگتر بودن شعاع یونی Sm^{3+} (1.09\AA) در مقایسه با شعاع یونی Y^{3+} (1.016\AA) است [۱۳].

روش ساخت

نانوذرات گارنت ایتریوم آهن جانشانی شده با ساماریوم به فرمول $Y_{3-x}Sm_xFe_5O_{12}$ با $x = 0.2, 0.3$ به روش سل- ژل تهیه شدند. برای تهیه محلول نیم مولار، مواد اولیه شامل نمک های نیترات ایتریوم $Y(NO_3)_3 \cdot 6H_2O$ ، نیترات آهن $Fe(NO_3)_3 \cdot 9H_2O$ و نیترات ساماریوم $Sm(NO_3)_3 \cdot 5H_2O$ طبق روابط عنصر سنجی در 100 ml آب دو بار یون زدایی شده حل شدند. سپس محلول اسید سیتریک $C_3H_8O_7 \cdot H_2O$ به این محلول اضافه شد. نسبت محلول سیترات به نیترات $1:3$ تنظیم شد. همه مواد از شرکت آلدريچ با خلوص بهتر از 99.9% درصد خردباری شده بودند. جهت دستیابی به $pH = 2$ آمونیاک به محلول اضافه شد. محلول نهایی در دمای $85^\circ C$ گرمادهی شد تا سل تولید شده به ژل تبدیل شد. آنگاه ژل حاصل در دمای $115^\circ C$ به مدت 48 ساعت در گرمکن کاملاً خشک شد. در نهایت پودر خشک شده به منظور عملیات گرمادهی در دمای $1000^\circ C$ به مدت 3 ساعت در کوره قرار گرفت. الگوهای پراش پرتو ایکس (XRD) با استفاده از دستگاه Rigaku 2013 تهیه شدند. ارتعاشات بین یون های اکسیژن و آهن در جایگاه های چار و هشت و جهی در گستره عدد موج $150-700\text{ cm}^{-1}$ با



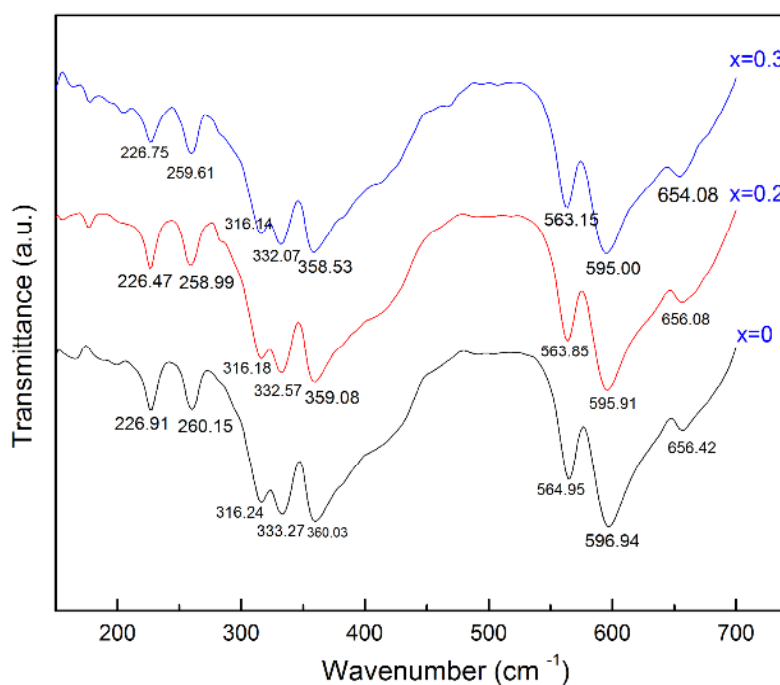
شکل ۱ الگوهای پراش پرتو ایکس نمونه های $Y_{3-x}Sm_xFe_5O_{12}$ با $x = 0, 0.2, 0.3$



شکل ۲ (الف) تغییرات ثابت شبکه و (ب) بزرگنمایی قله اصلی الگوهای پرتو ایکس نمونه‌های $Y_{3-x}Sm_xFe_5O_{12}$ با میزان جانشانی $x = 0, 0.2, 0.3$.

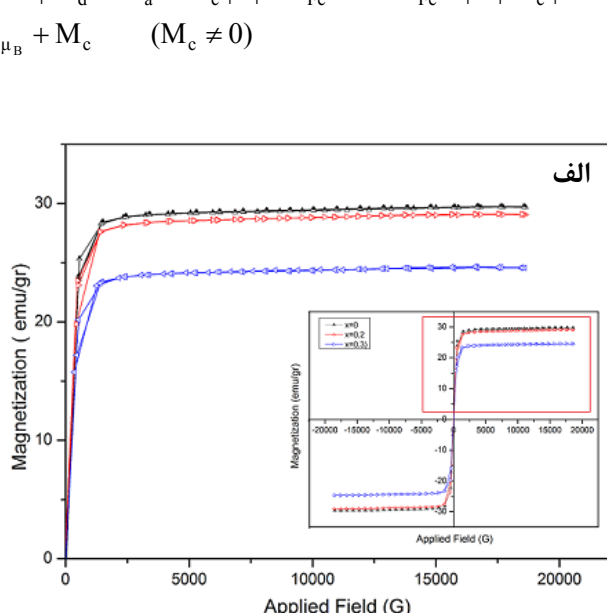
سه مد انتقالی مربوط به کاتیون‌های جایگاه دوازده‌وجهی T و سه مد انتقالی کاتیون‌های هشت‌وجهی T_O است [۱۴-۱۶]. در پژوهش حاضر با توجه به محدودیت‌های اندازه‌گیری، نوارهای IR زیر 228 cm^{-1} قابل ثبت نبودند. $Y_3Fe_5O_{12}$ ($x=0$) نوارهای موجود در $564.95, 596.94, 656.42, 656.08, 654.08, 563.15, 595.00, 563.85, 595.91, 564.95, 596.94, 316.18, 332.57, 359.08, 316.24, 333.27, 360.03, 226.91, 258.99, 226.47, 259.61, 228.75$ cm^{-1} مربوط به مد ارتعاشی v_3 هستند، اما نوارهای مربوط به v_4 باشد کمتر در گستره 370 cm^{-1} تا 470 cm^{-1} دیده می‌شوند. نوار IR در $360, 03\text{ cm}^{-1}$ را می‌توان به عنوان v_2 در نظر گرفت.

شکل ۳ طیف تبدیل فوریه فروسرخ دور (Far FT-IR) نمونه‌های $Y_{3-x}Sm_xFe_5O_{12}$ ($x = 0, 0.2, 0.3$) را نشان می‌دهد. براساس نظریه گروه ۱۷ مد ارتعاشی فعال در بیناب فروسرخ گارنت‌ها مورد انتظار است، که این ۱۷ مد IR شامل سه کششی نامتقارن جایگاه چاروجهی (v_3, v_d)، سه مد خمی نامتقارن و یک مد خمی متقاضن (v_4, v_2)، دو مد چرخشی R جایگاه چاروجهی، دو مد انتقالی چاروجهی T_d ،



شکل ۳ طیف‌های تبدیل فوریه فروسرخ دور نمونه‌های $Y_{3-x}Sm_xFe_5O_{12}$ با $x = 0, 0.2, 0.3$.

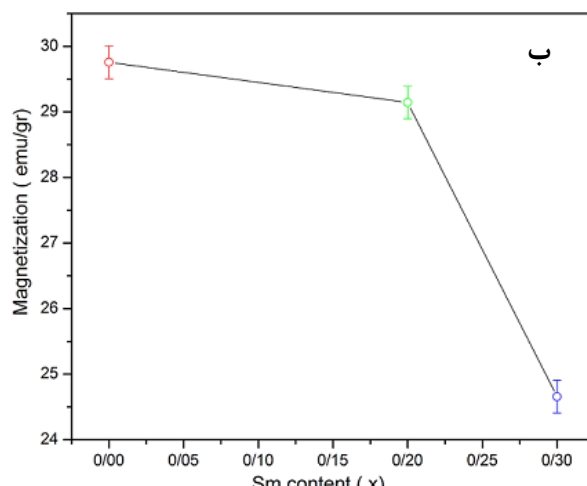
در جایگاه چاروجهی ارتباط دارد و گوشه‌های به اشتراک گذاشته شده این جایگاهها تغییر شکل داده و جایگاه‌های دوازده‌وجهی را تشکیل می‌دهند. در ساختار گارنت ایتربیوم آهن جایگاه‌های چار و هشت‌وجهی توسط یون‌های Fe^{+3} و جایگاه دوازده‌وجهی توسط یون Y^{+3} اشغال می‌شود. در این پژوهش بعضی از یون‌های ایتربیوم توسط یون‌های پارامغناطیسی ساماریوم (Am^{2+}) جانشانی شد. شکل ۴ الف منحنی پسماند مغناطیسی نمونه‌های $\text{Y}_{3-x}\text{Sm}_x\text{Fe}_5\text{O}_{12}$ را برای $x = 0/0, 0/2, 0/3$ در دمای اتاق نشان می‌دهد. تغییرات مغناطش اشبع M_s نمونه‌ها با افزایش مقدار یون Sm^{3+} از $x = 0$ تا $x = 0/3$ کاهش یافته است. بر اساس نظریه نیل، گشتاورهای مغناطیسی یون‌های آهن در زیر شبکه‌های a و d نسبت به یکدیگر دارای نظم پاد فرومغناطیس هستند و در دمای اتاق گشتاورهای مغناطیسی دارای جهت‌گیری [۱۱۱] است، بنابراین مغناطش کل در ساختار YIG برابر است با [۱۷] :

$$M = |M_d - M_a| = |M_d - M_a| + |M_c| = 5\mu_B + M_c \quad (M_c \neq 0)$$


نوار IR در $333/27 \text{ cm}^{-1}$ مربوط به مد T_0 است اما برای نوارهای $316/24$ و $260/15 \text{ cm}^{-1}$ گزارشی وجود ندارد و نمی‌توان آنها را به مد R نسبت داد [۱۶]. شکل ۳ همچنین شدت جذب نوارهای ارتعاشی را نشان می‌شود برای همه نمونه‌ها شدت جذب نوارهای جایگاه چاروجهی بیشتر از نوارهای جایگاه هشت‌وجهی است. با توجه به نخستین قانون انتخاب، انتقال بین اوربیتال‌های d در جایگاهی که تقارن مرکزی دارد غیر ممکن است. از آنجاکه جایگاه چاروجهی دارای تقارن مرکزی کمتری نسبت به جایگاه هشت‌وجهی است، مشاهده شدت جذب بیشتر برای نوارهای جایگاه چاروجهی قابل انتظار است [۱۶]. با افزایش مقدار جانشانی Sm^{3+} دیده می‌شود که نوارها به سمت عدد موج‌های کمتر جابه‌جا شده‌اند. بیناب‌های IR برای همه نمونه‌ها یک جابه‌جایی در نوارهای جذب را نشان می‌دهد. تغییراتی که بر اثر جانشانی در بیناب‌های IR پدید می‌آید در حالت کلی عبارتند از: ایجاد نوار جدید، جابه‌جایی نوارها و جداشده‌گی در جایگاهی که جانشانی صورت گرفته است و پهن‌شدگی و جابه‌جایی در جایگاه‌های دیگر [۱۶]. بنابراین جابه‌جایی و پهن‌شدگی دیده شده در بیناب IR این نمونه‌ها به دلیل جانشانی ساماریوم در جایگاه دوازده‌وجهی در ساختار گارنت ایتربیوم آهن است.

مشخصه‌یابی مغناطیسی

شبکه بلوری گارنت ایتربیوم آهن یک شبکه چندوجهی اکسیژن – فلز است که هر جایگاه چاروجهی با چهار یون آهن در جایگاه هشت‌وجهی و هر جایگاه هشت‌وجهی با شش یون آهن



شکل ۴ (الف) تغییرات مغناطش اشبع و (ب) منحنی‌های پسماند مغناطیسی نمونه‌های $\text{Y}_{3-x}\text{Sm}_x\text{Fe}_5\text{O}_{12}$ میزان جانشانی $x = 0/0, 0/2, 0/3$

- [4] Lee J. W., Oh J. H., "Magneto-optical properties of Bi-YIG nanoparticles dispersed in the organic binder", Journal of Magnetism and Magnetic Materials 272 (2004) 2230-2232.
- [5] R.D. Sanchez., J. Rivas., P. Vaqueiro., M.A. Lopez-Quintela., D. Caeiro., "Particle size effects on magnetic properties of yttrium iron garnets prepared by a sol-gel method", Journal of magnetism and magnetic materials, 247 (2002) 92-98.
- [6] Shea L. E., McKittrick J., Lopez O. A., Sluzky E., "Synthesis of red-emitting, small particle size luminescent oxides using an optimized combustion process", Journal of the American Ceramic Society 79 (12) (1996) 3257-3265.
- [7] Menzer G., "Die kristall structure der granate", z. kristallogr 69 (1928) 300-396.
- [8] Bertaut F., Forrat F., comp. rend. 242-382 (1956).
- [9] Richrad Cunningham J., Elmer J.R, Anderson E., "Samarium Substitution in Yttrium Iron Garnet", Journal of Applied Physics 31 (1960) 5.
- [10] Geller S., Williams H. J., Sherwood R. C., Remeika J.P., Espinosa G.P., "Magnetic study of the lighter rare-earth ions in the iron garnets", Journal of Physical Review 131 (1963) .
- [11] Zhongjun Cheng., Hua Yang., "Synthesis and magnetic properties of Sm-Y₃ Fe₅ O₁₂ nanoparticles", J.Science Direct.physica E. 39 (2007) 198-202.
- [12] Guo L., Yuan H., Huang Ke-Ke., "Hydrothermal Synthesis, characterization and magnetic properties of Rare Earth Garnet Sm₃ Fe₅ O₁₂ and Eu₃Fe₅O₁₂", Chemical Research in Chinese Universities, 27(2012) 715-719.
- [13] Caffarena V.R., Ogasawara T., Pinho M.S., Capitaneo J.L., "Samarium-Iron Garnet nanopowder obtained by Co-Precipitation", Latin American Applied Research 36 (2006) 137-140 .
- [14] Hofmeister A. M., Campbell K.R., "Infrared spectroscopy of yttrium aluminum, yttrium gallium and yttrium iron garnets", Journal of Applied Physics 72 (1992) 638-646.
- [15] Hofmeister A. M., "Infrared microspectroscopy. In H.J. Humecki, Ed., Practical Guide to Infrared Spectroscopy, 2nd ed", (1995) p. 377-416. Marcel Dekker, New York.
- [16] Hild E., Beregi E., "IR spectroscopic investigation of the garnet materials used in the microwave electronics", Chemical Engineering 30 (1986) 235-246.

در نتیجه جانشانی یون ساماریوم منجر به افزایش مغناطش اشباع می‌شود. اما با توجه به شکل ۴ ب، با توزیع ساماریوم در ساختار گارنت ایتریوم آهن مغناطش اشباع کاهش می‌یابد، که این با نتایج حاصل از نظریه نیل همخوانی ندارد، دلیل این امر ناشی از کاهش برهم کنش ابرتبدالی بین دو جایگاه چار و هشتوجهی است. از آنجاکه شعاع یونی Sm⁺³ (1.09 Å) بزرگتر از شعاع یونی Y⁺³ (1.016 Å) است، با جانشانی ساماریوم در ساختار گارنت ایتریوم آهن، طول و زاویه پیوند Fe_a-O-Fe_d تغییر می‌کند. بهدلیل تغییر شکل ریزساختار در زیر شبکه‌های a و d، دو نوع محیط شیمیایی متفاوت اطراف جایگاه‌های آهن در زیر شبکه‌های a و d ایجاد می‌شود و با افزایش توزیع Sm⁺³ گشتاور مغناطیسی موثر شکل گرفته توسط یون Fe⁺³ کاهش یافته و در نتیجه مغناطش اشباع ساختار کاهش می‌یابد. بدین ترتیب کاهش برهم کنش ابرتبدالی باعث کاهش مغناطش اشباع می‌شود [۲۰-۱۸].

برداشت

در این تحقیق جهت آماده‌سازی نمونه‌های Y_{3-x}Sm_xFe₅O₁₂ الگوهای پراش پرتو ایکس ساختار تک فاز گارنت نمونه‌ها را تایید کرد. میانگین اندازه بلورک‌ها ۵۰ نانومتر برآورد شد. خواص ساختاری نمونه‌ها توسط تحلیل طیف‌های Far-FTIR بررسی شد. بررسی حلقه‌های پسماند مغناطیسی نمونه‌ها نشان داد که مغناطش اشباع با افزایش میزان جانشانی کاهش می‌یابد که این کاهش با در نظر گرفتن نظریه نیل و کج‌شدگی اسپینی ناشی از کاهش برهم کنش ابرتبدالی توجیه شد.

مراجع

- [1] Ristic M., Nowik I., Popovic S., Felner I., Music S., "Influence of synthesis procedure on the YIG formation", Materials Letters 57 (2003) 2584-2590.
- [2] Ravi B. G., Guo X. Z., Yan Q.Y., Gambino R. J., Sampath S., Parise J. B., "Phase evolution and magnetic properties of Al substituted yttrium iron garnet nanopowders and plasma-sprayed coatings", Surface and Coatings Technology 201 (2007) 7597-7605.
- [3] Wang C. C., Yu W. T., "Synthesis of yttrium iron garnet using polymer-metal chelate precursor", Journal of Colloid and Interface Science 306 (2007) 241-247.

- [19] Ristic M., Felner I., Nowik I., Popovic S., czako-Nagy I., Music S., "Ferritization of Y^{+3} and Nd^{+3} ions in the Solid State", Journal of Alloys and Compounds 308 (2000) 301-308.
- [20] Tze-Chern Mao., Jyh-Chen chen., "Influence of the addition of CeO_2 on the microstructure and the magnetic properties of YIG ceramic", Journal of Magnetism and Magnetic Materials 302 (2006) 74-81.
- [17] Zhongjun. Cheng, Hua.Yang, Lianxiang Yu., Wei Xu., "Saturation magnetic properties of $Y_{3-x}Re_xFe_5O_{12}$ (Re: Gd,Dy, Nd,Sm and La) nanoparticles grown by sol-gel method", Journal of Mater Sci:Mater Electron 19 (2008) 442- 447.
- [18] Niyaifar M., Mohammadpour H., "Study on magnetic role of Bi^{+3} ion by random cation distribution model in Bi-YIG System", Journal of magnetism and Magnetic Materials 396 (2015) 65-70.